全品
— SINCE 1992 —
教育图书 功能学具 学生之家
基础教育行业专研品牌

30+年专注教育行业

全品高考 第二轮专题

特色专项

小题快练+大题冲关

主编 肖德好

地理
YN

沈阳出版社

CONTENTS 目录

第一部分 小题快练

小题快练 1 …… 01
小题快练 2 …… 04
小题快练 3 …… 07
小题快练 4 …… 10
小题快练 5 …… 13
小题快练 6 …… 16
小题快练 7 …… 19
小题快练 8 …… 22
小题快练 9 …… 25
小题快练 10 …… 28
小题快练 11 …… 31
小题快练 12 …… 34
小题快练 13 …… 37
小题快练 14 …… 40
小题快练 15 …… 43
小题快练 16 …… 46

第二部分 大题冲关

大题冲关 1 …… 49
大题冲关 2 …… 51
大题冲关 3 …… 53
大题冲关 4 …… 55
大题冲关 5 …… 57
大题冲关 6 …… 59
大题冲关 7 …… 61
大题冲关 8 …… 63
大题冲关 9 …… 65
大题冲关 10 …… 67

小题快练 1

时间:30 分钟　分值:48 分

［2026·云南玉溪一中二模］马泰拉小镇位于意大利南部石灰岩峡谷,依山凿洞建城,石窟建筑如蜂巢般错落分布。20 世纪中期因贫困被弃,后以“洞穴文化”为核心改造,引入文创产业,吸引游客与艺术家。2002 年某影片在此取景,使其扬名全球。下图为意大利部分区域图(图甲)和马泰拉小镇洞穴聚落图(图乙)。据此完成 1～3 题。



甲



乙

1. 据材料推测,下列描述符合当地特点的是 (　)
A. 植被以常绿阔叶林为主　　B. 降水稀少
C. 道宽路平　　D. 种植业发达

2. 马泰拉小镇的建筑排列样式体现了当地地域文化的内涵为 (　)
A. 封闭守旧　　B. 民族融合
C. 顺应自然　　D. 凝内御外

3. 以“洞穴文化”为核心的发展模式对马泰拉小镇的影响有 (　)
①人口回流增多　②水运发展较快　③第三产业占比上升　④文化商品化加剧
A. ①②③　　B. ②③④
C. ①②④　　D. ①③④

人户分离是指居民常住地与户籍地不一致的人口现象。下表示意 2010—2020 年南京市核心区、近郊区和远郊区人口相关数据。据此完成 4～6 题。

空间圈层	2010—2020 年常住人口增量(万人)	2020 年常住人口中人户分离人口占比(%)
核心区	－60.5	38.7
近郊区	180.3	54.4
远郊区	11.3	32.1

4. 推测 2010—2020 年南京市近郊区人口增量的主要贡献地是 (　)
A. 核心区　　B. 近郊区
C. 远郊区　　D. 南京市外

班级
姓名
题号 答题区
1
2
3
4
5
6
7
8
9
10
11
12
13
14
15
16
答题笔记

5. 导致南京市核心区与近郊区常住人口增量差异显著的主导因素是 （ ）

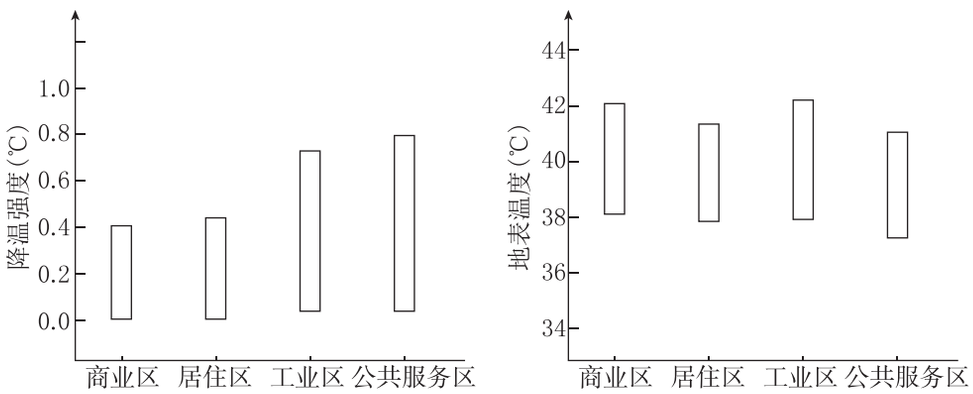
A. 环境质量　　B. 就业供给　　C. 社会保障　　D. 创新环境

6. 针对近郊区人户分离率过高的现象，最合理的应对措施是 （ ）

A. 严控核心区住宅用地的供应　　B. 提高近、远郊区的落户门槛

C. 推动优质公共资源均衡布局　　D. 增加近、远郊区租赁房供给

城市绿地能够有效降低地表温度，缓解城市高温，但不同绿地特征对周边环境降温效果存在显著差异。下图为某市主城区不同功能区某日绿地降温强度及实测地表温度。据此完成 7～8 题。



7. 推测该城市主城区绿地面积占比最小的功能区是 （ ）

A. 商业区　　B. 居住区

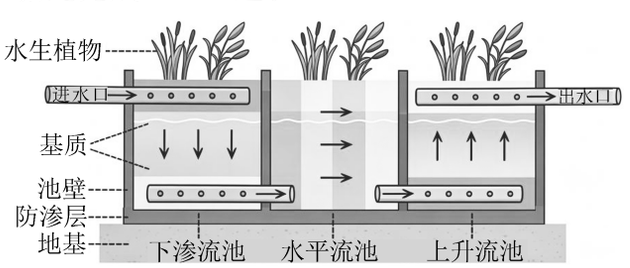
C. 工业区　　D. 公共服务区

8. 与其他功能区相比，公共服务区的降温强度最大的主要原因是绿地 （ ）

①物种多样　②占比较大　③较为分散　④结构单一

A. ①③　　B. ①④　　C. ②③　　D. ②④

永定河是北京地区的重要河流，曾因断流、污染等问题导致生态退化。近年来北京市启动了永定河综合治理工作，为解决污水深度处理后的再生水中氮、磷等营养元素含量较高引发的水质风险，在永定河休闲森林公园内建设了潜流人工湿地，主要通过基质的吸附和沉降去除磷，利用微生物在好氧和厌氧环境下的反复作用去除氮，对磷的去除效果好于氮。下图示意该湿地的净化机制。表流湿地指水在土壤等基质表层流动的一种人工湿地，最接近自然湿地。据此完成 9～10 题。



9. 与表流湿地相比，潜流湿地的突出优势是 （ ）

A. 植物种类更多　　B. 占地面积更大

C. 净化效率更高　　D. 建设成本更低

10. 为提升该湿地对氮的去除效率，最合理的措施是 （ ）

A. 增大水位波动幅度　　B. 替换所有水生植物

C. 增设表流湿地单元　　D. 缩短水流停留时间

反思感悟

多年冻土分为上下两层，上层为夏季融化、冬季冻结的活动层，下层为常年冻结的永冻层。北极多年冻土区泥炭（植物残体在过湿环境未能完全分解而形成）储量大，凋落物层厚，易自燃引发野火。近 30 多年来，受气候变暖影响，北极多年冻土区野火频率增加（燃烧面积翻倍，火灾季提前），导致多年冻土发生显著且不可逆的改变。据此完成 11～13 题。

11. 导致近 30 多年来北极多年冻土区野火频率增加的主要原因是 （ ）

A. 泥炭和凋落物变干　　B. 苔原带南界北移

C. 表层土壤水分增多　　D. 植物生长季延长

12. 若不考虑地表形态变化，野火多发导致北极多年冻土 （ ）

A. 活动层变薄、永冻层变厚

B. 活动层和永冻层都变薄

C. 活动层变厚、永冻层变薄

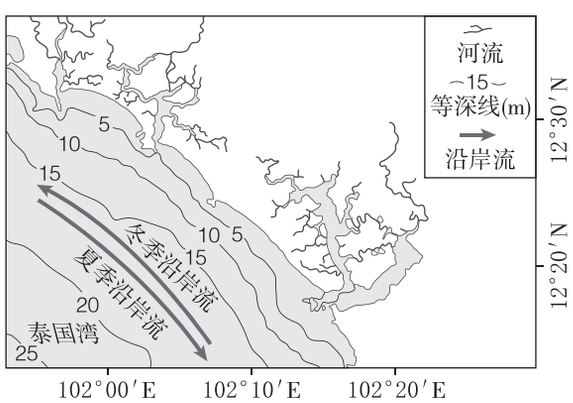
D. 活动层和永冻层都变厚

13. 北极多年冻土区野火频率增加会加剧区域气候变暖，主要是因为 （ ）

A. 过火后泥炭减少　　B. 温室气体释放增多

C. 冻土活动层滑塌　　D. 由碳源转变为碳汇

［2026·云南师范大学附中二模］沿岸流是近岸海域重要的水文现象，其形成受盛行风、入海径流和地形等多种因素综合影响，具有流向和流速随季节变化等特征。下图为泰国湾冬季和夏季沿岸流示意图。据此完成 14～16 题。



14. 泰国湾沿岸流最显著的特征是 （ ）

A. 沿岸流流速冬季快于夏季

B. 海水透明度夏季高于冬季

C. 海水的盐度终年低于外海

D. 均由深层海水上涌而形成

15. 与冬季相比，泰国湾夏季沿岸流流向发生变化的主要原因是 （ ）

A. 入海径流增多　　B. 湾外洋流增强

C. 海底地形抬升　　D. 盛行风向改变

16. 沿岸流对泰国湾近岸海域环境的影响表现在 （ ）

①提高营养物质含量　②搬运泥沙，淤积海岸　③加剧近岸污染程度　④缩小气温年际变化

A. ①②　　B. ①③　　C. ②④　　D. ③④

班级

姓名

答题区 题号

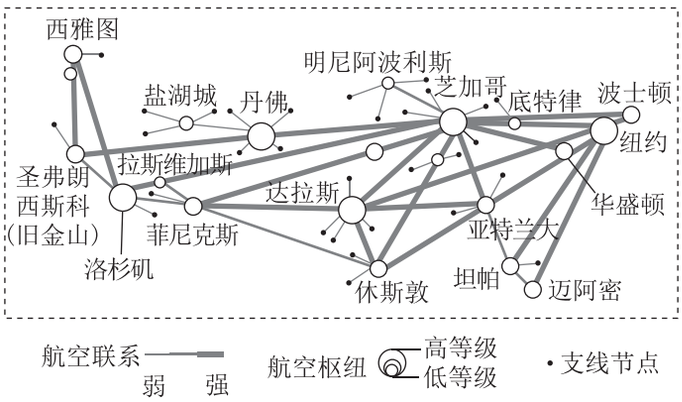
1 2 3 4 5 6 7 8 9 10 11 12 13 14 15 16

答题笔记

小题快练 2

时间:30 分钟　分值:48 分

[2026·云南师范大学附中二模] 航空网络格局的形成与区域经济发展水平密切相关。下图示意美国本土航空网络空间结构,图中节点大小表示城市航空枢纽等级,连线粗细表示城市间的航空联系强度。据此完成 1～2 题。



1. 美国本土航空网络空间结构的主要特点是 (　)

A. 呈现出单中心放射状格局　　B. 低等级航空枢纽航线直达全国

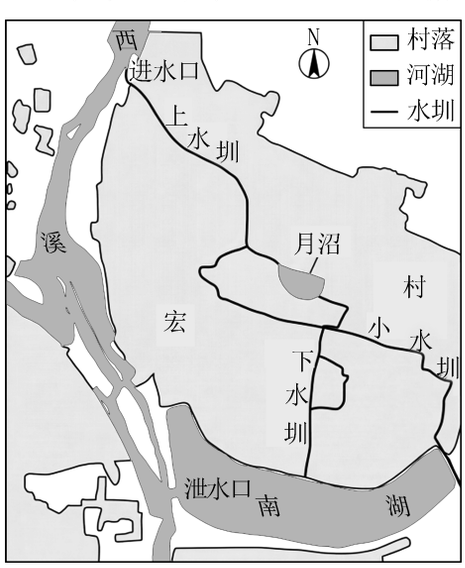
C. 高等级航空枢纽数量最少　　D. 支线节点绕枢纽呈六边形分布

2. 美国本土航空联系东西向强于南北向,其主要影响因素是 (　)

A. 河流分布　　B. 山脉走向

C. 陆路交通　　D. 经济联系

安徽省黄山市黟县宏村坐落于黄山南麓的山间盆地,地势北高南低。南宋时期,该地先民顺应地势开凿月沼,后又修建南湖,并挖掘百余米长的水圳(引水渠道),引西溪水入村,分流至家家户户,最终排入南湖;南湖多余水体则汇入村外溪河,形成一套完整的山村水系(下图),极大缓解了当地雨季易涝、旱季缺水的问题。据此完成 3～5 题。



3. 宏村开凿月沼的核心目的是 (　)

A. 美化村落景观　　B. 蓄水源、防旱涝

C. 发展水产养殖　　D. 开辟休憩空间

4. 宏村水圳采用蜿蜒而非直线布局的主要原因是 (　)

A. 减少工程量　　B. 保护古居　　C. 调节小气候　　D. 方便取水

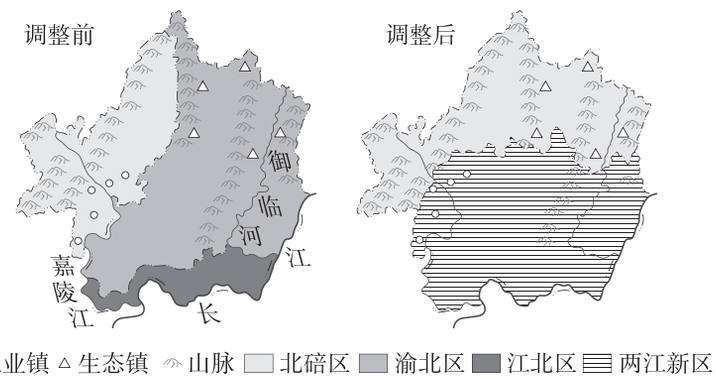
反思感悟

5. 宏村的水系营建模式对我国现代山村水利建设的启示是 （ ）

A. 大力兴建水库沟渠　　B. 复制宏村水网体系

C. 保持当地水网原貌　　D. 依托自然优化水网

2025 年 11 月，重庆市进行行政区划调整，撤销江北区和渝北区，设立两江新区，重新划分北碚区范围。新设立的两江新区成为中心城区核心增长引擎。下图为调整前后的重庆主城区部分行政区划图。据此完成 6～8 题。



6. 重庆市设立两江新区行政区的主要原因是 （ ）

A. 拓展用地规模　　B. 提升城市行政级别

C. 增加主体功能　　D. 提高资源配置效率

7. 此次行政区划调整将原渝北区北部的五镇划归北碚区，主要目的是 （ ）

A. 平衡两区人口和经济总量　　B. 强化北碚区生态屏障功能

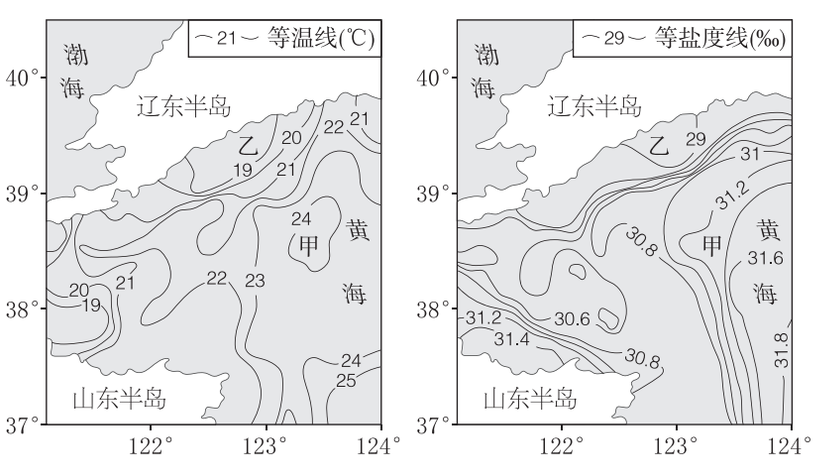
C. 提高北碚区的城镇化水平　　D. 拓展北碚区行政管辖范围

8. 为更好发挥辐射带动作用，两江新区宜采取的措施是 （ ）

①均衡产业发展　②吸引人口集聚　③拓展经济腹地　④完善对外交通

A. ①②　　B. ①③　　C. ②④　　D. ③④

黄海是我国重要的边缘海，其表层海水的温度、盐度分布受海陆位置、洋流、径流等多种海洋环境要素的综合影响，是研究近海海洋水文特征的典型区域。图(a)为黄海部分海域夏季表层海水温度分布图，图(b)为黄海部分海域夏季表层海水盐度分布图。据此完成 9～10 题。



(a)　　(b)

9. 图示海域表层水温、盐度分布特征是 （ ）

A. 甲处水温低于 24℃　　B. 盐度自西向东递增

C. 水温较高区盐度偏低　　D. 乙区蒸发量显著偏小

10. 推测乙海区夏季海水盐度偏低的主要原因是 （ ）

A. 河流入海径流稀释　　B. 潮汐运动扰动水体

C. 东南季风带来降水　　D. 沿岸人类活动排污

地处蒙陕宁三省级行政区交界的毛乌素沙地冬季盛行西北风，分布有三类沙丘。研究团队对该区域不同类型沙丘的不同地貌部位进行钻孔取样（0～4 米深度范围内），采取烘干称重法测算土壤含水量。下表示意研究区域冬季土壤含水量。据此完成 11～13 题。

沙丘类型	地貌部位	含水量(%)
裸露沙丘	迎风坡	3.97
	背风坡	2.19
灌木覆盖沙丘	迎风坡	2.88
	背风坡	2.13
乔木覆盖沙丘	迎风坡	5.49
	背风坡	3.78

11. 影响该区域不同地貌部位土壤含水量差异的主要因素是 （ ）

A. 土壤质地　　B. 太阳辐射　　C. 植被类型　　D. 基岩深度

12. 与其他类型沙丘相比，乔木覆盖沙丘含水量特征的形成原因是 （ ）

A. 乔木蒸腾弱，水分消耗少　　B. 拦截粉尘多，土壤持水强

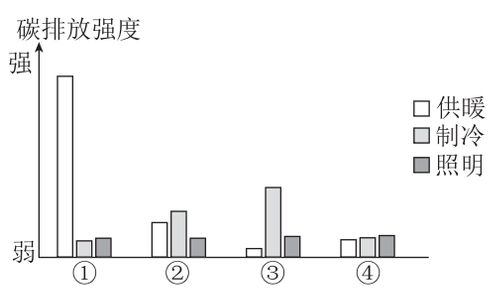
C. 基岩埋深大，水分下渗多　　D. 阴坡光照弱，土壤蒸发少

13. 土壤含水量的测算过程中，容易导致结果出现偏差的不规范操作有 （ ）

①铝盒在盛装土样前保持湿润　②土壤采集后即装入铝盒密封　③超高温超时长烘干土壤样品　④计量器具在使用前进行校准

A. ①②　　B. ①③　　C. ②④　　D. ③④

地理环境对建筑物碳排放量影响显著，研究者模拟了我国四个不同城市三层公共建筑物的运行碳排放强度情况，下图示意不同城市公共建筑运行碳排放强度的模拟结果。据此完成 14～16 题。



注：模拟运行时段为6—20时，期间均为人工照明。

14. 四个城市纬度由高到低的排序是 （ ）

A. ①②③④　　B. ①③②④　　C. ④①③②　　D. ④③②①

15. 推测④对应的城市最可能是 （ ）

A. 北京　　B. 沈阳　　C. 福州　　D. 昆明

16. 若充分利用自然采光，模拟运行时段公共建筑照明减排潜力最大的城市及季节是 （ ）

A. ①—夏季　　B. ①—冬季　　C. ④—夏季　　D. ④—冬季

小题快练 3

时间:30 分钟　分值:48 分

浙江省衢州市多丘陵山地,耕地碎片化问题突出。近年来,当地推行“多田套合”改革,将永久基本农田、高标准农田和粮食功能区叠加,通过土地整治实现“田成方、路相通、渠相连”。截至 2023 年底,衢州已腾出 15 万亩(1 亩≈666.7 平方米)产业空间用于发展农文旅融合业态。据此完成 1～2 题。

1. 丘陵山地地区实现“多田套合”依赖于 (　)

A. 国家政策支持　　B. 机械化水平高

C. 灌溉水源充足　　D. 可耕种面积大

2. 推行“多田套合”改革的主要目的是 (　)

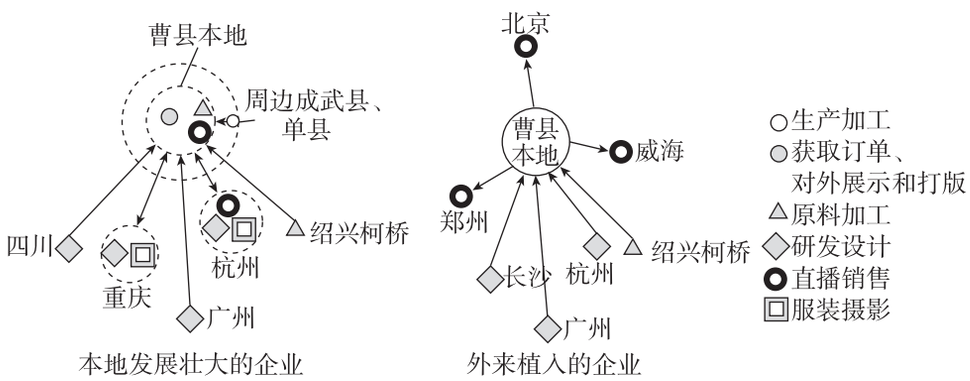
A. 扩大耕地面积,保障粮食安全

B. 优化土地布局,提升综合效益

C. 减少农业劳动力,降低生产成本

D. 融合农文旅产业,改造传统农业

自 2009 年起,山东省曹县大集镇借助互联网平台发展演出服、汉服等电商产业,电商产业规模持续扩张,至 2021 年全县已形成 176 个淘宝村。数字经济的快速发展重塑了当地产业空间结构,推动原有服装加工、销售环节不断细化,逐步分化为原料加工、成品制造、仓储物流及设计、摄影等配套生产性服务业,产业分工呈现专业化、多样化特征。下图为曹县两类代表性企业的产业链空间分工组织图。据此完成 3～5 题。



3. 2021 年前后,曹县服装生产加工业空间分布呈现出 (　)

A. 跨区域、集约化　　B. 多中心、分散化

C. 网络化、均质化　　D. 单中心、集中化

4. 数字经济驱动下,县域产业空间分工呈现出多样化与专业化多重态势,主要得益于 (　)

A. 便捷的网络和物流　　B. 廉价的劳动力资源

C. 丰富的高技能人才　　D. 县域用地空间充足

5. 曹县高端生产性服务业的空间分布倾向于 (　)

A. 向乡村和集镇集中

B. 向县域多中心扩散

C. 向高等级城市转移

D. 向制造业附近集中

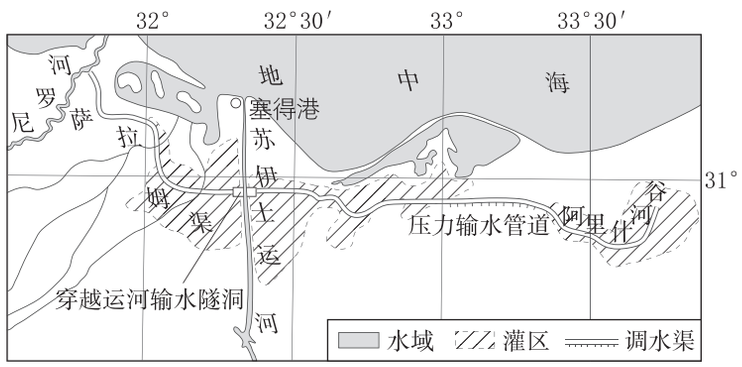
班级

姓名

题号	答题区
1	
2	
3	
4	
5	
6	
7	
8	
9	
10	
11	
12	
13	
14	
15	
16	

答题笔记

为完善西奈半岛灌溉系统，改善农业生产条件，埃及实施西水东调工程。该工程西起尼罗河三角洲，经萨拉姆渠、苏伊士运河输水隧洞和西奈半岛北部调水工程三部分引尼罗河水东调至阿里什河谷，全长 262 千米。下图示意埃及西水东调工程位置及线路。据此完成 6～8 题。



6. 在萨拉姆渠段，与管道相比，建渠道的优势是 （ ）

A. 减少蒸发　　B. 避免污染

C. 防止渗漏　　D. 降低成本

7. 选择从尼罗河取水而非苏伊士运河，更多关注的是 （ ）

A. 调水水量　　B. 水源水质

C. 调水距离　　D. 水体动力

8. 西水东调沿线多灌区分布，但在压力输水管道段无灌区，主要限制因素是 （ ）

A. 地形　　B. 土壤　　C. 需求　　D. 技术

［2026·云南楚雄期末］花岗岩球状风化是常见地质景观，岩石棱角经多方向风化逐渐趋向球形，但少有玄武岩球状风化的景观。某研学小组在宁海县观察到玄武岩球状风化的珍贵地质遗迹。宁海县位于浙东沿海中生代火山活动带，其地质背景以中生代火山岩为核心，兼具沉积岩、松散堆积物，受断裂抬升影响，某地质历史上形成的玄武岩球状风化景观出露地表（如下图）。据此完成 9～11 题。



9. 与花岗岩相比，少有玄武岩球状风化景观，主要是因为玄武岩 （ ）

A. 占地规模较小　　B. 表面颜色较深

C. 抗蚀能力较弱　　D. 层理结构明显

10. 该玄武岩球状风化景观形成的关键在于 （ ）

A. 气候温暖湿润　　B. 上覆岩石保护

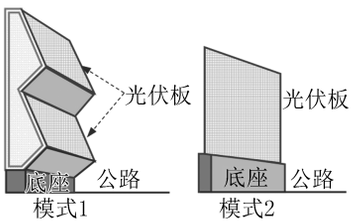
C. 火山喷发强烈　　D. 形成年代久远

11. 为保护该玄武岩球状风化景观，当地可采取的措施是 （ ）

A. 整体剥离，移至室内　　B. 砂石覆盖裂隙

C. 加装挡风防雨顶棚　　D. 原地加盖玻璃隔层

光伏道路隔音屏障是将城市道路隔音屏障和光伏发电技术相结合，利用光伏组件将太阳能转化为电能的一种应用形式，下图示意光伏组件与道路隔音屏障的两种不同结合方式。据此完成12～13题。



12. 与传统光伏电站相比，城市光伏道路隔音屏障的突出优势在于 （ ）

A. 发电效率较高　　B. 发电成本较低

C. 节约土地资源　　D. 受天气影响小

13. 模式1和模式2存在的主要问题分别是 （ ）

①模式1—太阳高度较大时，遮挡影响发电效率

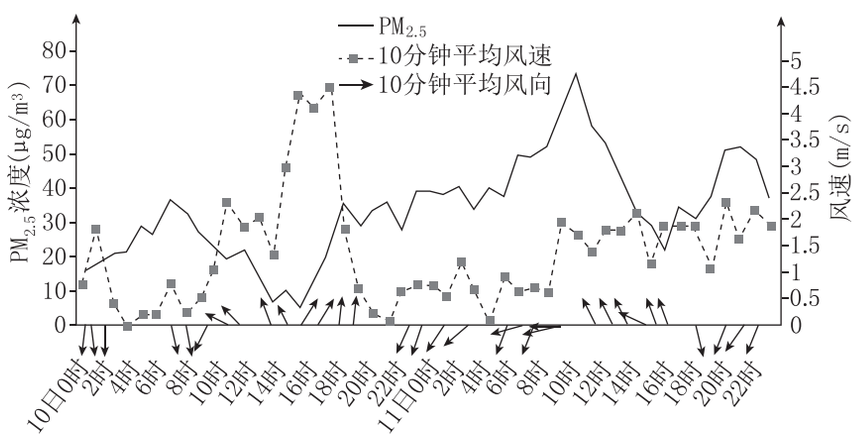
②模式1—太阳高度较小时，遮挡影响发电效率

③模式2—太阳高度较大时，反光影响驾驶视线

④模式2—太阳高度较小时，反光影响驾驶视线

A. ①③　　B. ②④　　C. ②③　　D. ①④

［2026·云南昆明一中诊断］秦皇岛市青龙县地处山谷中，山谷风明显。青龙县气象观测站的位置位于谷底一侧山脉的山脚下方，距离谷底中心约500米，可以较好地进行气象观测。下图为2021年9月10—11日青龙气象站环境监测数据示意图。据此完成14～16题。



14. 结合风向与$PM_{2.5}$（细颗粒物）浓度的关系，推测青龙县气象站位于山谷中的 （ ）

A. 东侧　　B. 西侧

C. 南侧　　D. 北侧

15. 11日10:00至16:00，$PM_{2.5}$浓度从约70微克/米^{3}下降至22微克/米^3，可能是由于 （ ）

A. 持续的谷风作用　　B. 持续的山风作用

C. 山风、谷风的转换　　D. 植物的光合作用

16. 青龙县$PM_{2.5}$浓度日变化大，对其影响最小的因素是 （ ）

A. 背景风　　B. 山谷风

C. 地形状况　　D. 逆温现象

班级

姓名

答题区 题号

1 2 3 4 5 6 7 8 9 10 11 12 13 14 15 16

答题笔记

小题快练 4

时间:30 分钟　分值:48 分

绿电直连是指风电、光伏等新能源通过专用线路向用户直接供电,实现绿电可溯源、可计量。为应对目前国际政策强化供应链上下游低碳的约束,杭州某出口导向型产业园依托绿电直连打造国家级零碳园区。据此完成 1～2 题。

1. 与传统公网供电相比,绿电直连的核心优势是 (　)

A. 降低企业用电成本

B. 满足碳排放核算需求

C. 减少能源传输损耗

D. 提高电网供电稳定性

2. 该产业园优先推广绿电直连的主要目的是 (　)

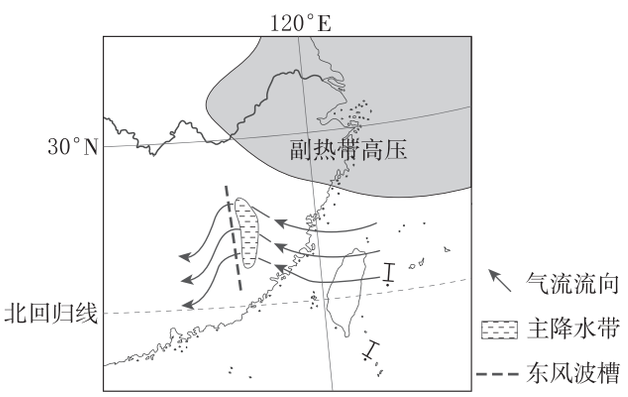
A. 缓解园区用电紧张

B. 减少园区碳排放总量

C. 提升企业品牌形象

D. 应对国际贸易碳壁垒

副热带高压的南侧盛行强劲的东风气流。受区域气压、风场和温湿度等扰动的影响,在东风气流中会存在一个槽或气旋性弯曲较大区域,随气流如同波浪自东向西移动,称为东风波。下图示意我国东南某山区一次东风波过境情况,该地出现了暴雨、雷暴、大风等强对流天气。据此完成 3～5 题。



3. 图示现象最可能发生在 (　)

A. 1 月　　B. 4 月　　C. 7 月　　D. 10 月

4. 此刻,东风波槽线附近大气物理状况是 (　)



A　　B　　C　　D

5. 本次东风波产生强对流天气的主要原因有 (　)

①副热带高压南侧水平气压梯度较大

②东风波槽附近辐合上升气流较强

③副热带高压北侧带来大量水汽

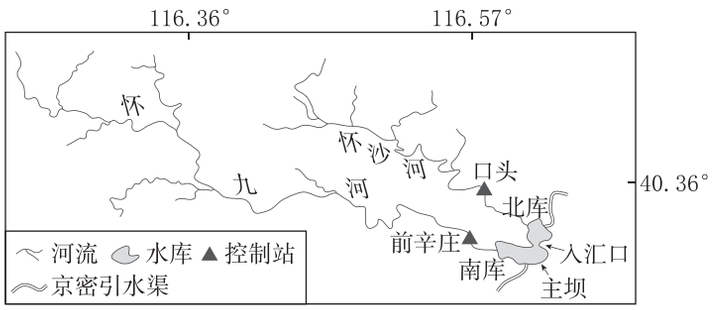
④地形对降水有较大增幅作用

A. ①②③　　B. ①②④

C. ①③④　　D. ②③④

反思感悟

怀柔水库始建于1958年，位于两河交汇处，由南、北库组成（下图），是京密引水渠输水体系的双向调蓄枢纽。2023年底监测发现，南库淤积最大厚度约6米，北库仅为2.5米，整个库区内约有2.1平方千米的水生植物分布。研究表明，怀柔水库实测淤积物总量大于建库以来上游流域控制站累计来沙总量。据此完成6～7题。



6. 南、北库淤积厚度差异明显的主要影响因素是 （ ）

A. 年降水总量差异　　B. 上游流域范围差异

C. 库区的面积差异　　D. 原有河床地形差异

7. 怀柔水库淤积物总量远大于上游流域累计来沙总量。不能解释该现象的是 （ ）

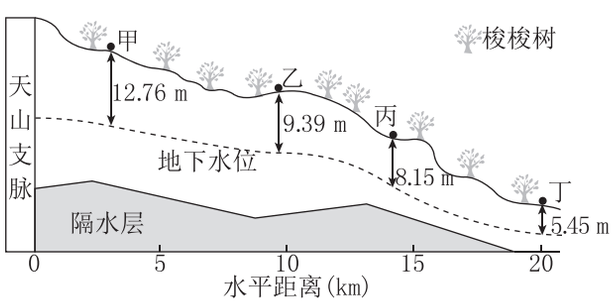
A. 京密引水渠带来外源泥沙

B. 库区植被周期性生长与死亡

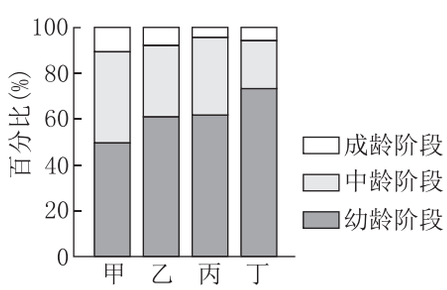
C. 大气中的粉尘与杂质沉降

D. 两控制站拦截上游泥沙入库

［2026·云南曲靖阶段检测］在干旱区，地下水通过毛细作用上升，成为植被根区土壤水分的主要补给来源。精河县位于准噶尔盆地荒漠绿洲过渡带，盐碱化程度较低。当地梭梭树多出现树龄大但矮小的“小老树”现象。图a示意精河县部分区域的地下水埋深，图b示意该地四处梭梭种群的年龄结构。据此完成8～10题。



a



b

8. 该地盐碱化程度较低的自然原因是 （ ）

A. 地表蒸发较弱　　B. 地下水埋藏深

C. 植被覆盖率高　　D. 土壤含水量少

9. 该地梭梭树 （ ）

A. 甲地成龄植株最多

B. 乙地种群更新最快

C. 丙地成龄植株最少

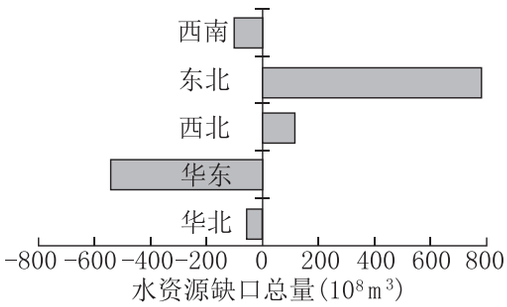
D. 丁地种群密度最大

10. “小老树”现象多出现在 （ ）

A. 甲地　　B. 乙地　　C. 丙地　　D. 丁地

反思感悟

水、能源、粮食互为约束，虚拟水是产品生产隐含用水量。2001—2021年我国东北、华北、西北、华东、西南五大区粮食与能源虚拟水消耗显著增长，各区水资源供需缺口发生变化。东北长期为重度压力，西北由无压力转为轻度压力，华北、华东、西南维持无压力。下图为2021年五大地区水资源供需缺口状况。据此完成11～13题。



11. 引起我国五大区虚拟水空间流动格局的主导因素是 （ ）

A. 降水量时空分布　　B. 资源禀赋与产业分工

C. 区域生态保护政策　　D. 人口规模与集聚程度

12. 东北地区长期保持水资源重度压力的主要原因是 （ ）

A. 粮食对外输出量大　　B. 能源生产规模大

C. 气候暖干化加剧　　D. 重工业耗水量大

13. 为缓解东北、西北水资源压力并保障国家粮食、能源安全，宜采取的可行措施有 （ ）

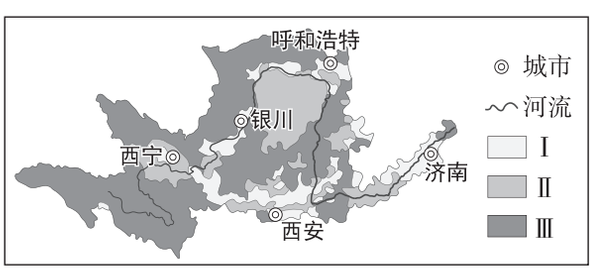
A. 缩减粮食与能源生产规模

B. 对两地区进行资金反哺

C. 流域调水替代虚拟水流动

D. 推行以水定产、节水增效

主体功能区战略对于引导社会经济要素流动发挥重要作用。黄河流域是我国重要的生态安全屏障，人口收缩（也被称为人口减少）现象突出。下图示意我国黄河流域主体功能区规划。据此完成14～16题。



14. 图中重点生态功能区、城镇化地区、农产品主产区分别是 （ ）

A. Ⅱ、Ⅰ、Ⅲ　　B. Ⅰ、Ⅲ、Ⅱ

C. Ⅱ、Ⅲ、Ⅰ　　D. Ⅲ、Ⅰ、Ⅱ

15. 规划颁布后黄河流域农产品主产区人口收缩现象加剧，主要原因是 （ ）

A. 农业机械化水平提升　　B. 非农产业开发管控严格

C. 区域城镇化进程加快　　D. 流域生态环境质量下降

16. 为了更好地发挥重点生态功能区的作用，应 （ ）

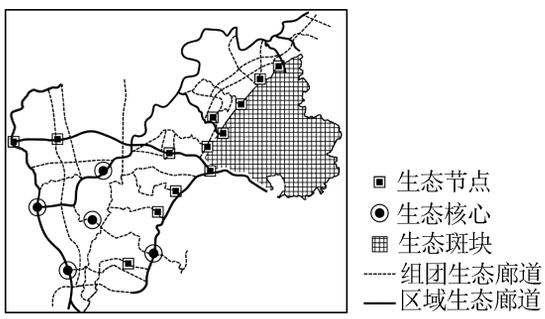
A. 合理向外疏解人口　　B. 提高城镇化水平

C. 扩大粮食种植规模　　D. 发展资源型工业

小题快练 5

时间:30 分钟　分值:48 分

生态廊道是以若干生态要素为载体,具备串联大型生态斑块、保护生物多样性等复合功能的一定宽度的带状开敞空间。2025 年 5 月,广州市白云区推出首个区级生态廊道规划,通过设置一系列生态节点及生态廊道,实现林鸟入城等目标。下图示意该生态廊道空间网络结构。据此完成 1～2 题。



1. 难以成为该生态廊道构成要素的是 (　)

A. 公路　　B. 地铁　　C. 河流　　D. 湖泊

2. 为促进林鸟入城,白云区应重点营造 (　)

①水源地　②觅食地　③观鸟地　④隐蔽地　⑤游客集散地

A. ①②③　　B. ①②④　　C. ②③④　　D. ③④⑤

右图是南昌隆兴大桥景观图。隆兴大桥公铁合体,上层为城市快速路,下层为高速铁路,跨越赣江和扬子洲。大桥跨越赣江西支和中支采用不同的动力结构,赣江西支采用斜索吊拉,赣江中支采用桥墩支撑。扬子洲地段采用高架桥形式通过,且桥身高度较大。据此完成 3～4 题。



3. 隆兴大桥公铁合体,扬子洲地段采用高架桥,两项举措共同遵循的交通布局原则是 (　)

A. 适度超前　　B. 区域均衡

C. 发展综合运输　　D. 尽量少占土地

4. 大桥跨越赣江西支和中支采用不同的动力结构,可知赣江西支 (　)

A. 江面更宽　　B. 江水更深　　C. 流速更慢　　D. 流量更小

随着数字口碑平台蓬勃兴起,消费者的出行决策越来越依赖网络平台提供的信息和评价,消费空间的网络可见性日益成为影响决策的关键因素。下表示意基于某平台数据统计的 2017 和 2022 年上海市外环内地区眼镜店微观区位分布和高评价店铺占比。据此完成 5～7 题。

楼层	2017 年数量(个)	2022 年数量(个)	高评价店铺占比(%)
地下层	207	263	48.1
1 层	1320	1146	22.5
2～6 层	515	421	34.8
7 层及以上	55	110	74.4

班级

姓名

题号	答题区
1	
2	
3	
4	
5	
6	
7	
8	
9	
10	
11	
12	
13	
14	
15	
16	

答题笔记

反思感悟

5. 2017—2022 年，上海市眼镜店微观区位分布的变化趋势是 （ ）

A. 向临街 1 层高度集聚　　B. 向地下层和高楼层扩散

C. 向 2 至 6 层大量迁移　　D. 各个楼层数量趋于均衡

6. 上海市眼镜店微观区位分布的变化主要是为了 （ ）

A. 提升数字口碑　　B. 扩大服务范围

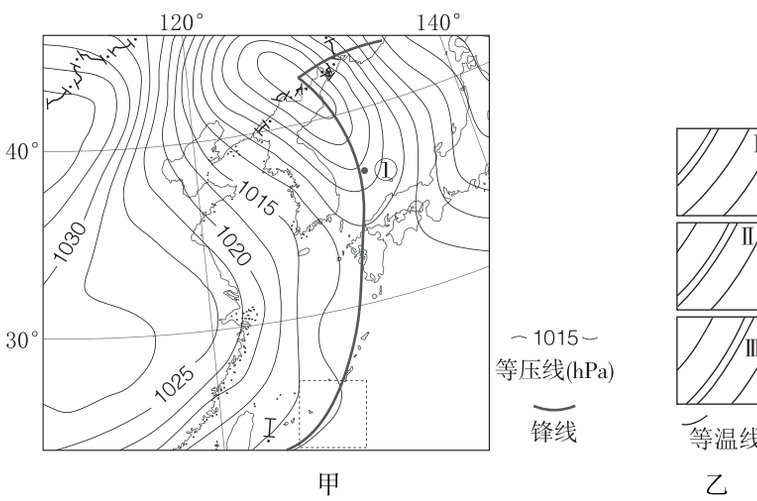
C. 降低租金成本　　D. 摆脱行业衰退

7. 优质数字口碑对上海市地下层和高楼层眼镜店布局的主要影响是 （ ）

A. 维持品牌吸引力，缓解客户流失　　B. 增强交通可达性，降低出行成本

C. 促进服务高端化，激活消费潜力　　D. 提高店铺知名度，弥补区位劣势

图甲为世界某区域某时刻海平面天气形势图，图示锋面气旋以较快的速度自西向东移动，图乙示意虚线框内不同高度气温分布状况，Ⅰ、Ⅱ、Ⅲ分别代表不同高度。据此完成 8～9 题。



甲　　乙

8. 图甲中虚线框内等温线分布状况由近地面到高空的排序是 （ ）

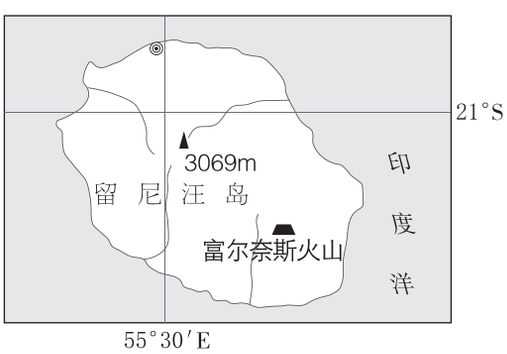
A. Ⅱ、Ⅲ、Ⅰ　　B. Ⅰ、Ⅱ、Ⅲ　　C. Ⅲ、Ⅱ、Ⅰ　　D. Ⅱ、Ⅰ、Ⅲ

9. 推测①地未来气压变化过程为 （ ）

A. 先降低，再升高　　B. 一直升高

C. 先升高，再降低　　D. 一直降低

约 300 万年前，留尼汪岛因火山喷发而形成。该岛东部分布着特殊的热带雨林，其森林垂直结构简单，缺乏板状根，植株高度相对矮小。富尔奈斯火山喷发形式以玄武岩熔岩持续溢流为主，人们可行走到火山口边缘。2026 年 2 月 13 日，该火山开始喷发，3 月 16 日，火山熔岩向东蔓延流入海洋。据此完成 10～11 题。



10. 与亚马孙平原的热带雨林相比，该雨林特殊的主要原因是 （ ）

A. 海拔较高，风力强劲，土壤贫瘠

B. 纬度较低，蒸发旺盛，水分不足

C. 距海较近，土壤盐碱化严重

D. 火山活动频繁，土壤肥沃

11. 火山喷发期间除直接监测外，下列防灾措施最紧迫的是（　）

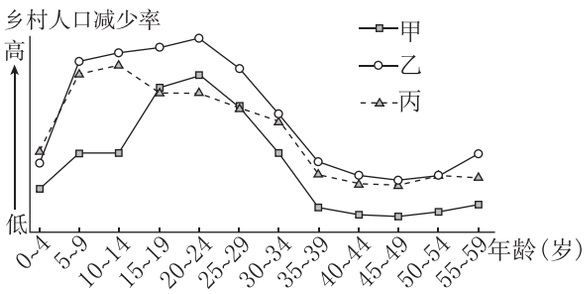
A. 修建导流渠道，将岩浆引入预定河道

B. 分析岩浆流速，划定海岸风险警戒区

C. 建设大型火山灰过滤网，减少对空气质量影响

D. 疏散周边地区所有居民，防止人员伤亡

中国S平原中心城市辐射功能弱，乡村人口老化明显。根据距中心城市的远近，可将该平原各区县划分为中心型、近邻型和边缘型。其中，中心型区县教育水平整体较高，边缘型区县少数民族分布广泛。右图示意2010—2020年S平原三类区县0～59岁不同年龄的乡村人口减少率。据此完成12～14题。



12. 甲、乙、丙对应的区县类型依次是（　）

A. 边缘型、近邻型、中心型　　B. 边缘型、中心型、近邻型

C. 近邻型、边缘型、中心型　　D. 中心型、近邻型、边缘型

13. 对于乙、丙类区县50～59岁乡村人口减少率比甲类区县高，最合理的解释是（　）

A. 随子女进城照料孙辈与养老比例高

B. 本地工业污染严重，生态移民多

C. 农业机械化普及使剩余劳动力增多

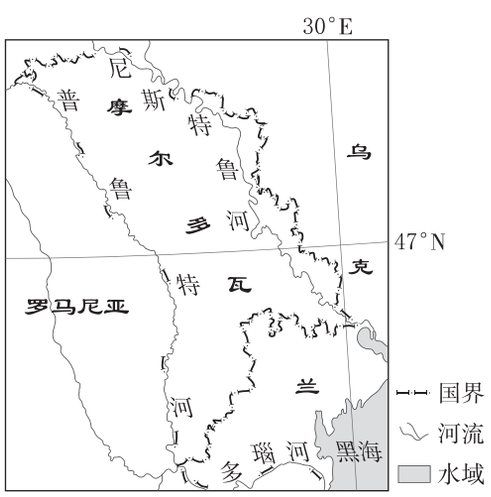
D. 中心城市养老成本低，吸引力强

14. 为应对乡村人口老化，甲类区县最适合采取的措施为（　）

A. 扶持民族特色产业　　B. 发展都市观光农业

C. 增加教育资金投入　　D. 打造高端颐养社区

[2026·云南昆明三模] 2026年3月，乌克兰尼斯特鲁河水电站发生油污泄漏，污染物以较快速度向下游的摩尔多瓦扩散，摩尔多瓦随即启动饮用水安全红色预警。该事件引发了流域内各国对跨境水污染风险防控的关注。右图为摩尔多瓦位置示意图。据此完成15～16题。



15. 该次污染物以较快速度向下游扩散的直接水文动力原因是（　）

A. 下游河道冰封，排水不畅加速扩散

B. 初春气温偏低，河面结冰助推扩散

C. 流域蒸发微弱，河水滞留时间延长

D. 春汛径流量大，河流流速显著加快

16. 下游国家防范跨境突发性水污染风险的核心长效措施是（　）

A. 用地下水替代河水　　B. 加强前置预警防控

C. 建设应急备用水源　　D. 制定污染赔付机制

反思感悟

班级

姓名

答题区 题号

1 2 3 4 5 6 7 8 9 10 11 12 13 14 15 16

答题笔记

小题快练 6

时间:30 分钟　分值:48 分

2025 年 12 月 18 日,海南自贸港正式启动全岛封关运作,将全岛建成海关监管特殊区域。自贸港对境外大幅放宽准入,实施零关税;精准管控海南与内地货物流动,加工增值(达到或超过 30%)销往内地可免关税;岛内贸易、投资等高度自由。预计新的一年春节海南省游客数量将同比大幅增长。据此完成 1～3 题。

1. 相对于我国东南沿海经济发达省级行政区,海南省封关运作的主要优势是 (　)

A. 人口密集　　B. 港口众多　　C. 地处热带　　D. 四面环海

2. 受“加工增值免关税”政策影响,海南省获益最大的产业是 (　)

A. 服装制造　　B. 稀土冶炼

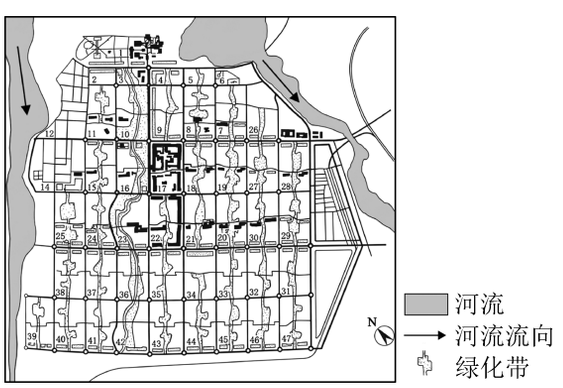
C. 石油化工　　D. 家电制造

3. 预计海南省游客数量大幅增长的理由是 (　)

A. 气候温暖宜人　　B. 旅游资源丰富

C. 交通设施完善　　D. 进口商品降价

[2026·云南红河州、文山州三模] 印度昌迪加尔市位于喜马拉雅山南麓,该城市规划设计合理、功能分区明确,道路网整体呈方格状。下图为昌迪加尔的城市规划简图。据此完成 4～5 题。



4. 昌迪加尔市方格状道路网对城市交通的影响是 (　)

A. 增加道路交叉口,缓解交通的拥堵

B. 缩短各功能区距离,减少通勤时间

C. 功能分区明确,便于交通疏散和管理

D. 控制车辆通行量,便于居民绿色出行

5. 昌迪加尔市城区绿化带的延伸方向有利于 (　)

A. 顺应地形走向,体现人地协调

B. 引入西南季风,调节局部气候

C. 增加绿地面积,提供休闲空间

D. 防止噪声污染,创造洁净环境

金沙江干热河谷地区山高谷深、气候干热,生态环境脆弱。近年来,该区域的元谋县利用其丰富的太阳能资源,大力发展“光伏＋农业”项目,设计了光伏提水灌溉系统,实现自流灌溉。研究表明,光伏板的覆盖显著改变了板下土壤的微环境。下图示意光伏提水灌溉系统。据此完成 6～8 题。